Fig. 1

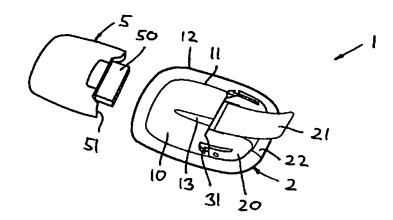


Fig. 2

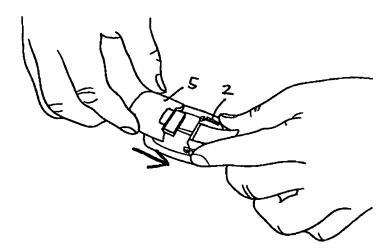


Fig. 3

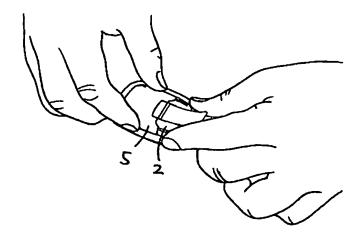


Fig. 4

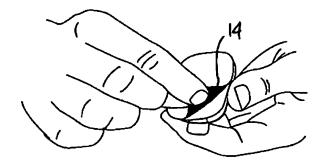


Fig. 5

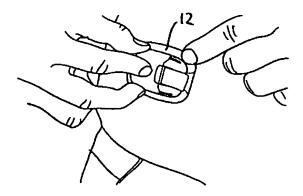


Fig. 6

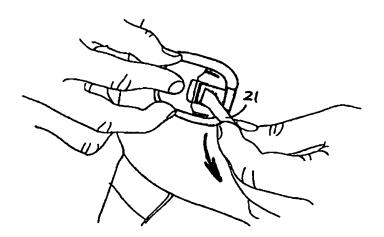


Fig. 7



Fig. 8

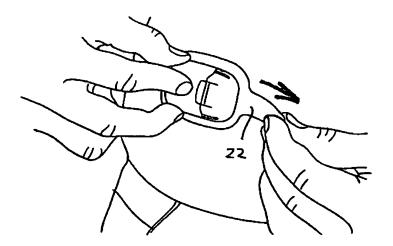


Fig. 9



Fig. 10

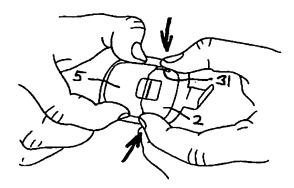


Fig. 11

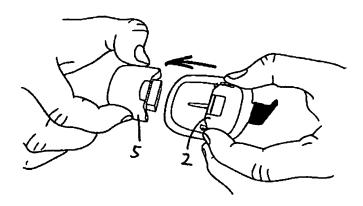
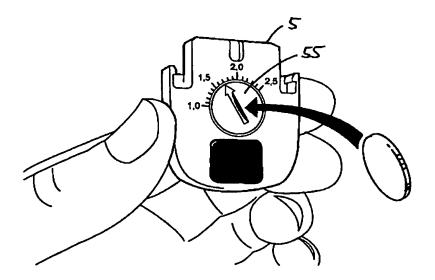
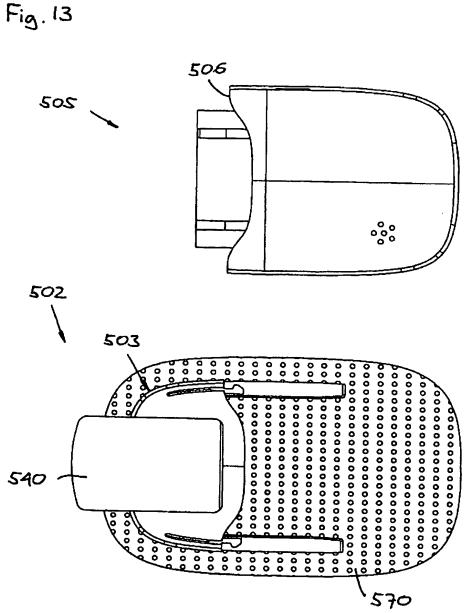


Fig. 12





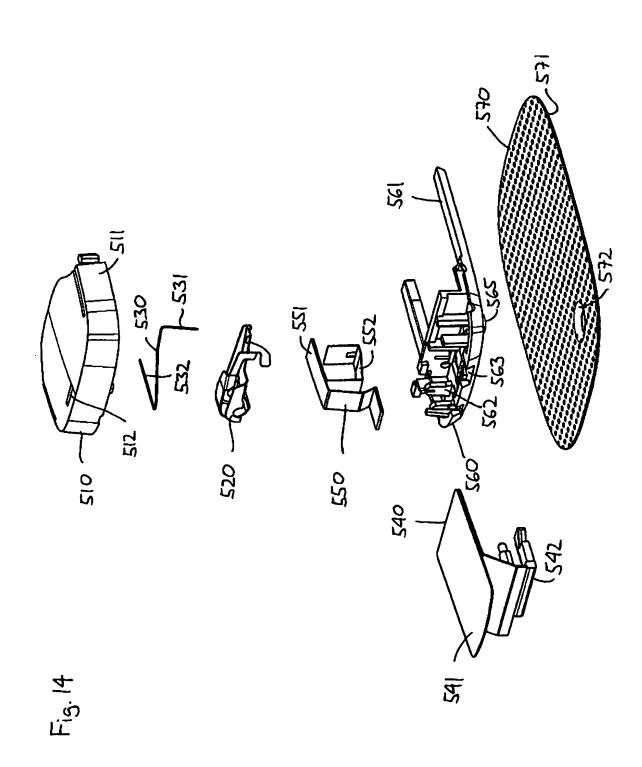
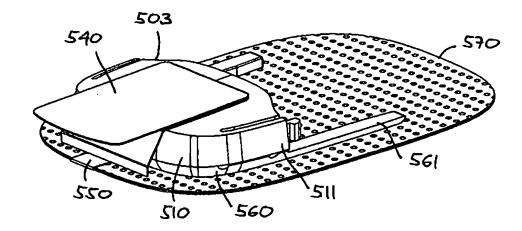


Fig. 15



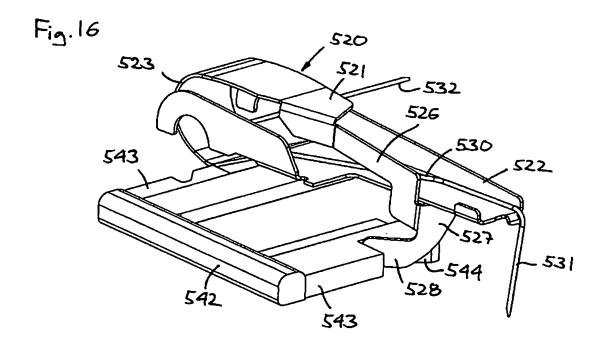


Fig. 17

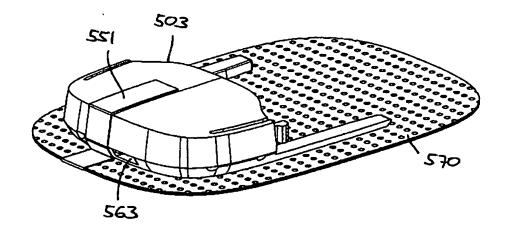


Fig. 18

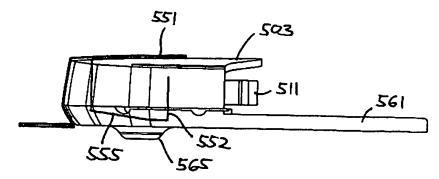
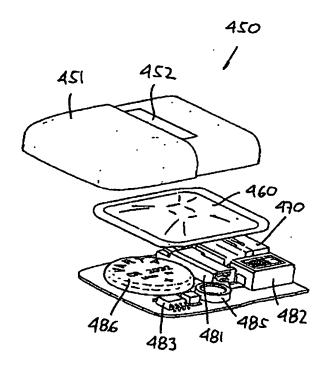
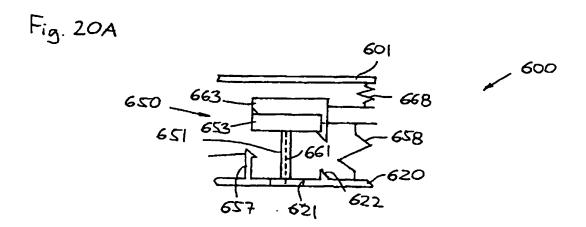
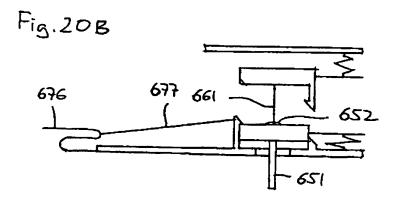


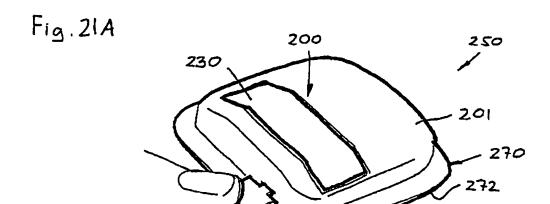
Fig. 19







271



275

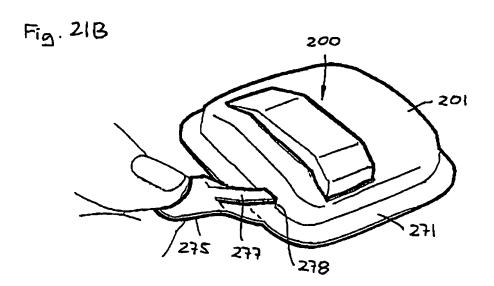
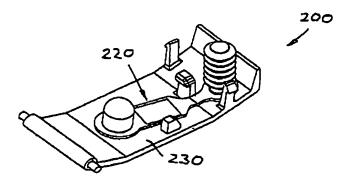
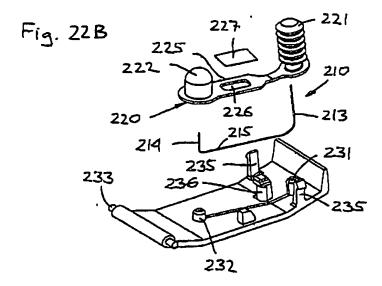
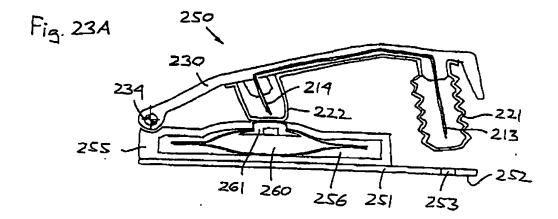


Fig. 22A







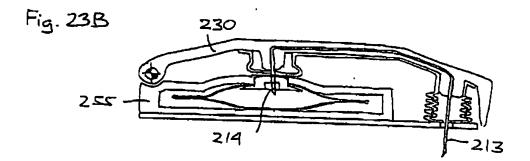


Fig. 29A

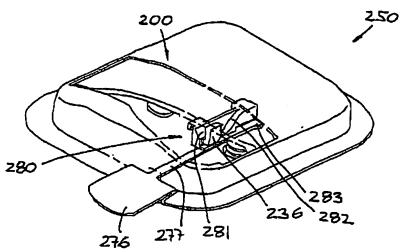
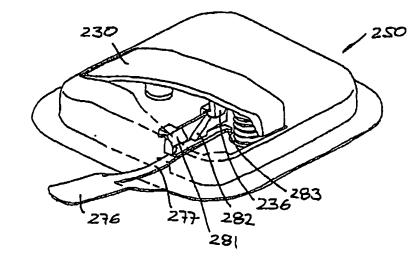
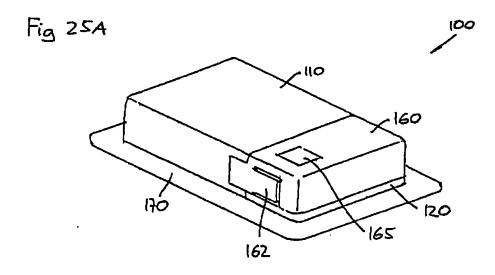
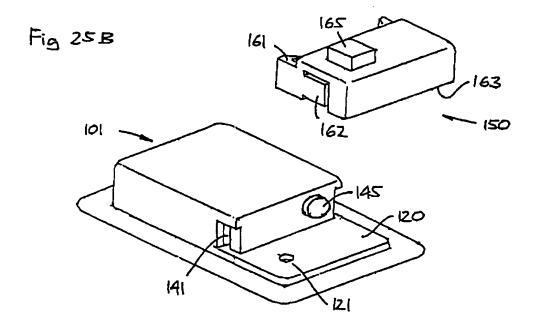
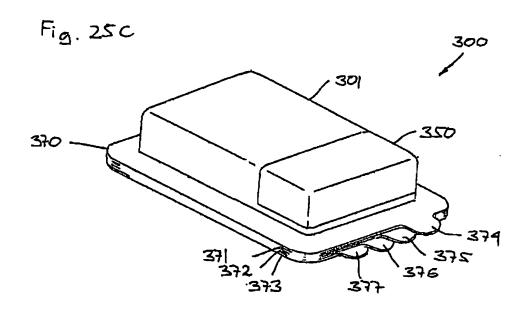


Fig. 24B









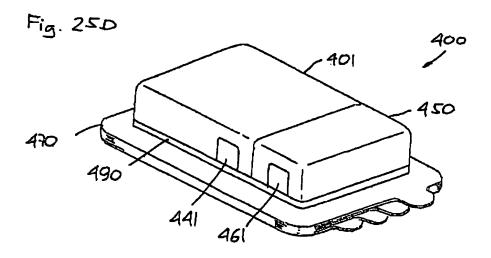


Fig. 26

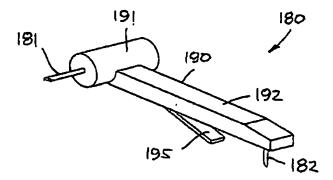


Fig. 27A

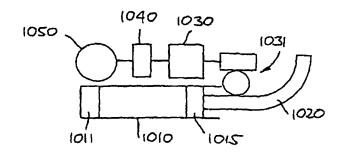


Fig. 27B

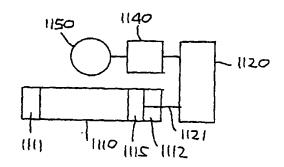
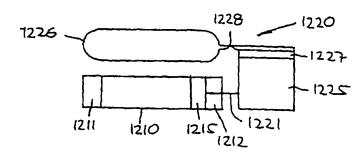


Fig 27C



F19. 27D

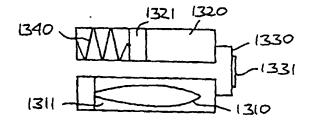


Fig 27E

